

# Socio-Demographic Predictors and Distribution of Pulmonary Tuberculosis (TB) in Xinjiang, China: A Spatial Analysis Atikaimu Wubuli, Feng Xue, Daobin Jiang, Xuemei Yao, Halmurat Upur, Qimanguli Wushouer (2015)

#### RAÍSSA CAROLINE DOS SANTOS TEIXEIRA

DISCIPLINA: ANÁLISE ESPACIAL - SER 301

DOCENTE: DR. A. MIGUEL VIEIRA MONTEIRO

PG-SER INPE 2019

### Tuberculose

• **Doença infecciosa** que afeta prioritariamente os **pulmões**, embora possa acometer outros órgãos e/ou sistemas.

• Causada por bactérias (gênero Mycobacterium), e o bacilo é transmitido por via aérea na maioria dos casos.



• É influenciada pela determinação social, apresentando uma relação direta com a **pobreza e a exclusão social.** 

• Diagnóstico: exame clínico, exame radiológico de tórax, prova ou reação tuberculínica e **diagnóstico laboratorial** (baciloscopia e a cultura do escarro).

Fonte: Ministério da saúde

### Justificativa e objetivos do trabalho

A tuberculose (TB) → problema de saúde global!

Em 2012 → ~8,6 milhões de novos casos com 1,3 milhão de **mortes** → Muitos pacientes e óbitos para uma **doença curável**.

#### China → 12% da incidência global.

• Xinjiang é uma das províncias da China com maior ocorrência de TB.

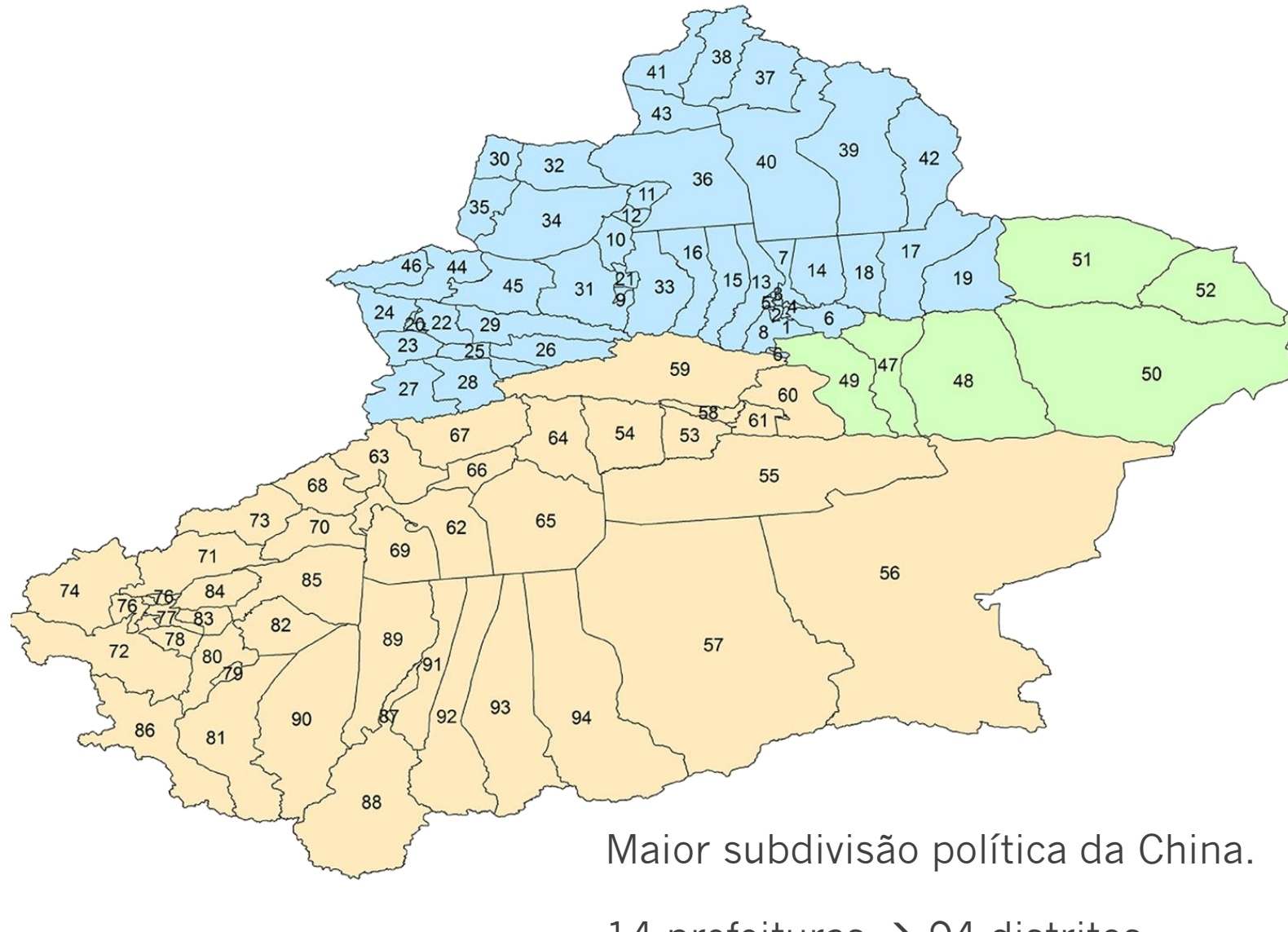
Foi realizada uma **análise espacial** utilizando SIG para melhorar o **entendimento da variação geográfica** da ocorrência da TB pulmonar em Xinjiang, seus determinantes dentro de um contexto social, e compreender o contexto espacial e temporal como forma de melhorar o **direcionamento de intervenções e recursos.** 

Introdução **Metodologia** Resultados e Discussão Conclusão Considerações

### Área de estudo







14 prefeituras → 94 distritos

Fonte: O autor

#### Fontes de dados e definições de variáveis

• National Infectious Diseases Reporting System (NIDRS), Chinese Center for Disease Control and Prevention > Número de casos de Tuberculose pulmonar (nível de condado/distrito).

•Xinjiang Statistical Yearbook (2006~2014) → Dados populacionais e sociodemográficos

→ indicadores/preditores da doença.

#### Cálculo da incidência

- Quatro taxas de incidência foram calculadas:
  - TB pulmonar,
  - SS+TB (TB pulmonar confirmada por baciloscopia)
  - Novos SS+TB (casos de SS+TB sem histórico de tratamento para TB)
  - SS-TB (TB com baciloscopia negativa)

# Análise espacial

Análise de Autocorrelação Espacial → Avaliar o grau de agrupamento, aleatoriedade ou fragmentação de um padrão espacial.

- Dependência Espacial Global → estima o grau geral de autocorrelação espacial de um conjunto de dados.
- Dependência Espacial Local → Identifica a localização e os tipos de clusters.

Índice global de Moran (I): 
$$I = \frac{n\sum_{i=1}^{n}\sum_{j=1}^{n}w_{i,j}z_{i}z_{j}}{S_{0}\sum_{i=1}^{n}z_{i}^{2}}$$

O valor absoluto do I indica a força da autocorrelação espacial.

A significância estatística é testada pelo Z-score e valor de P.

P <0,05 leva à rejeição da hipótese nula e indica a presença de autocorrelação espacial.

# Análise espacial

#### Índice local de Moran (li):

$$I_{i} = \frac{x_{i} - \bar{X}}{S_{i}^{2}} \sum_{j=1, j \neq i}^{n} w_{i,j}(x_{j} - \bar{X})$$

Os tipos de autocorrelação espacial local incluem:

HH → "hotspots"

• HL

LL → "coldspots"

• LH

#### Índice local de Getis e Ord (Gi\*):

$$G_{i}^{*} = \frac{\sum_{j=1}^{n} w_{i,j} x_{j} - \bar{X} \sum_{j=1}^{n} w_{i,j}}{\sqrt{\left[ \sum_{j=1}^{n} w_{i,j}^{2} - (\sum_{j=1}^{n} w_{i,j})^{2} \right]}}$$

Estatística local para avaliar a presença de clusters e fornecer informações adicionais sobre a intensidade e estabilidade dos clusters principais de hotspots/coldspots.

# Análise de Regressão Espacial

- 1ª etapa: OLS Método dos Mínimos Quadrados (Ordinary Least Squares)
  - Técnica de otimização matemática que procura encontrar o melhor ajuste para um conjunto de dados tentando minimizar a soma dos quadrados dos resíduos.
- 2ª etapa: SLM Spatial Lag Model
  - Este modelo avalia a força da relação espacial entre os índices em todas as áreas contíguas.
- 3ª etapa: GWR Geographically-weighted Regression (regressão geograficamente ponderada)
  - Modelo de Regressão com efeitos espaciais contínuos → Variações espaciais modeladas de forma contínua, com parâmetros variando no espaço.

Introdução Metodologia Resultados e Discussão Conclusão Considerações

# Análise de Regressão Espacial

#### • OLS

- Ponto de partida para todas as análises de regressão espacial > Limitações para dados espaciais;
- os coeficientes para as variáveis explicativas (isentas de multicolinearidade) do modelo devem ser estatisticamente significativos;
- os resíduos devem ser normalmente distribuídos com uma média de zero e livres de autocorrelação espacial.

#### SLM

- Escolhido como modelo de regressão espacial global com base nas estatísticas de testes multiplicadores de Lagrange (LM);
- O SLM incorpora diretamente a autocorrelação espacial no modelo, incluindo um termo de defasagem espacial (ρ).
- Formalmente, este modelo é  $y = \rho Wy + X\beta + \epsilon$ ,
  - onde y: vetor de observações na variável dependente;
  - Wy: variável dependente espacialmente atrasada para a matriz de pesos W;
  - X é uma matriz de observações nas variáveis independentes, ε é um vetor de termos de erro, ρ e β são coeficientes de regressão.

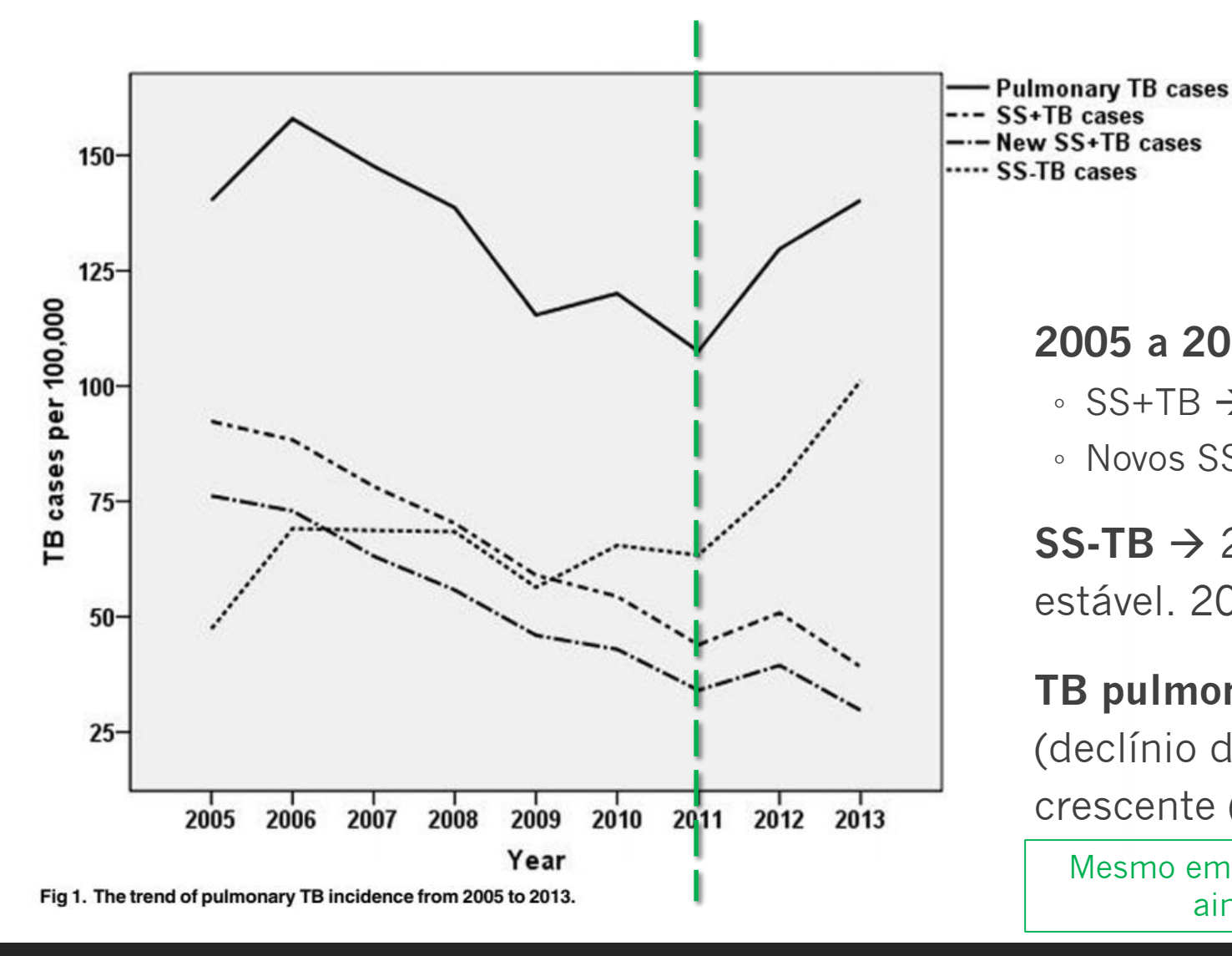
# Análise de Regressão Espacial

#### • GWR

- Usada como modelo de regressão espacial local para explorar a variação espacial nas relações entre a incidência de TB pulmonar e os preditores.
- Este trabalho escolheu o AIC (critério de informação de Akaike), que foi fixado pelo princípio da **máxima verossimilhança** para determinar a largura de banda ideal.
- O Índice de Moran foi utilizado para testar a autocorrelação espacial dos resíduos.
- A verossimilhança de log e o valor de AIC foram usados para comparar a adequação do OLS e SLM, enquanto o valor ajustado de R<sup>2</sup> e AIC foram usados para comparar a adequação do OLS e GWR.

- > Os softwares SPSS 17.0, ArcGIS 10.2.2 e GeoDa foram utilizados para análise dos dados.
- ➤ National Geographic Information System database → limite da região de Xinjiang.

### Tendência da incidência de TB pulmonar de 2005 a 2013



Incidências médias anuais:

- TB pulmonar →132,59
- ∘ SS+TB → 63,17
- Novos SS+TB → 50,36

2005 a 2013 - Tendência no declínio:

- $\circ$  SS+TB → 92 para 39
- $_{\circ}$  Novos SS+TB  $\rightarrow$  76 para 30

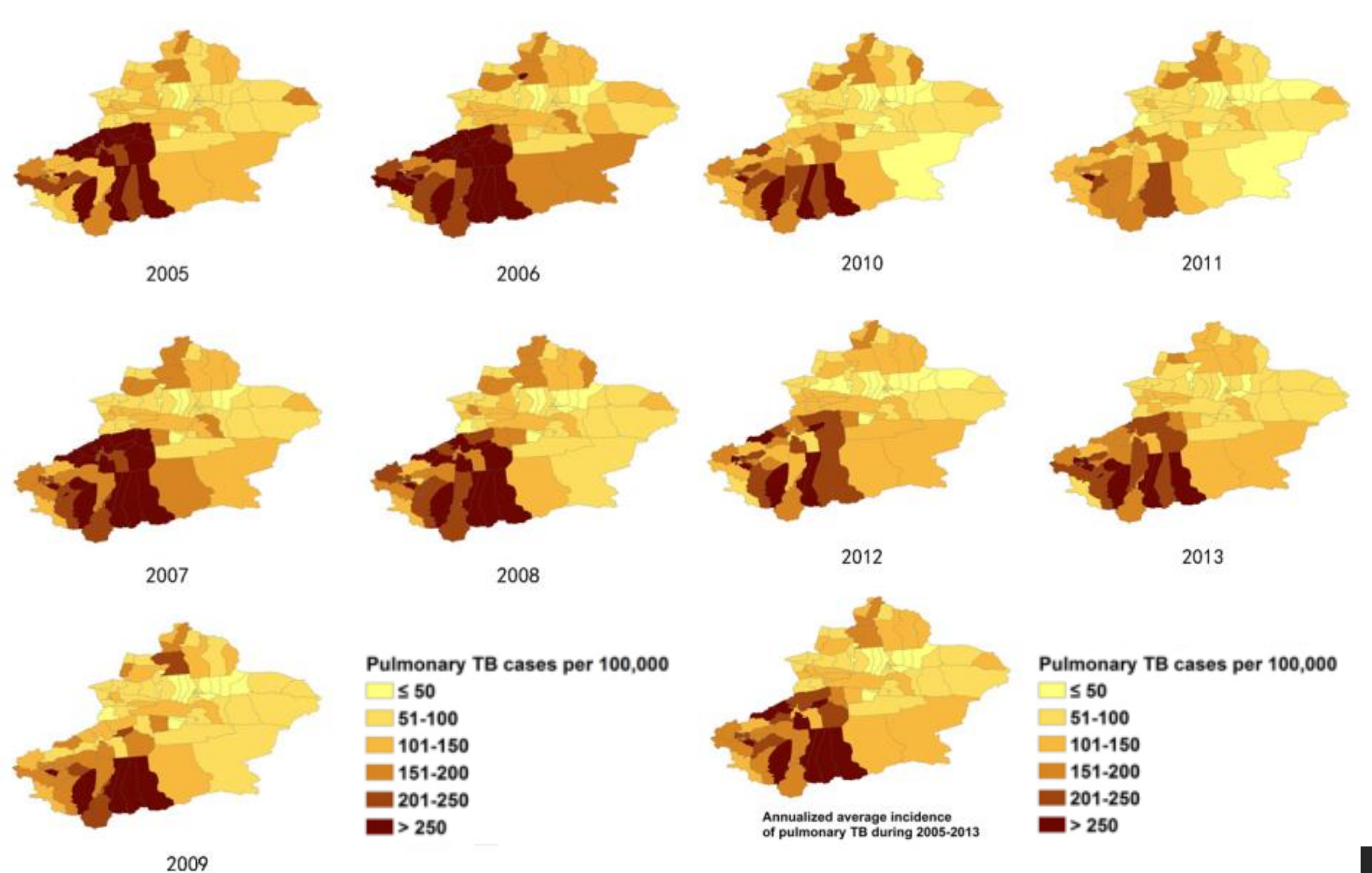
Eficácia do controle da TB nas últimas décadas!

**SS-TB** → 2005 – 2010: Incidência relativamente estável. 2011: Tendência de aumento.

**TB pulmonar** → 2005 – 2011: Tendência de declínio (declínio dos casos de SS+TB). 2011: Tendência crescente (aumento de casos de SS-TB).

Mesmo em declínio, as taxas de incidência de TB de Xinjiang ainda eram mais altas que a média nacional

#### Distribuição da incidência de TB pulmonar

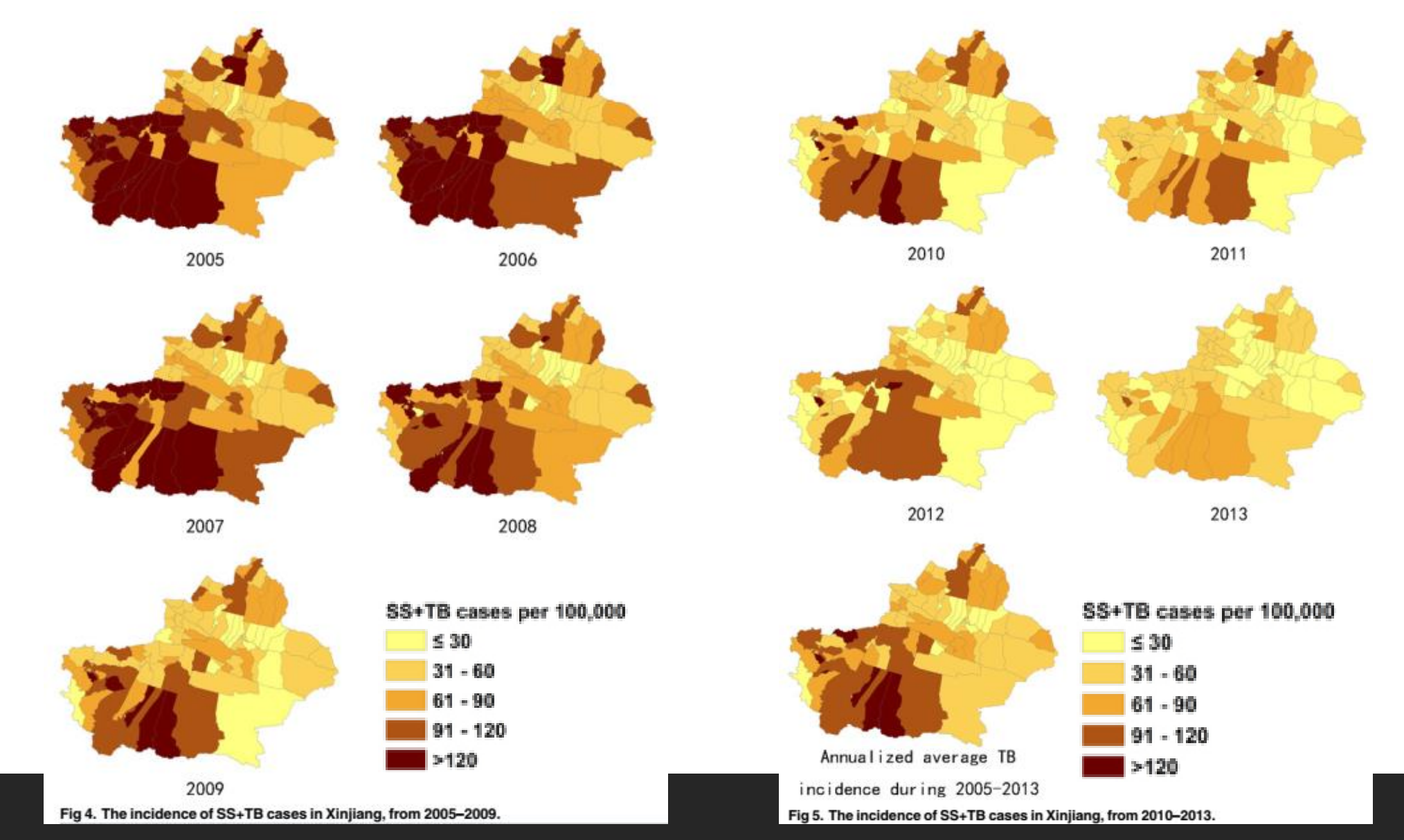


- Diferenças regionais.
- •Em geral, o sul de Xinjiang (parte sul das montanhas de Tianshan), especialmente a parte sudoeste de Xinjiang, teve uma alta incidência de TB pulmonar e SS + TB.

Fig 2. The incidence of pulmonary TB cases in Xinjiang, from 2005-2009.

Fig 3. The incidence of pulmonary TB cases in Xinjiang, from 2010–2013.

### Distribuição da incidência de SS+TB



### Análises de autocorrelação espacial global

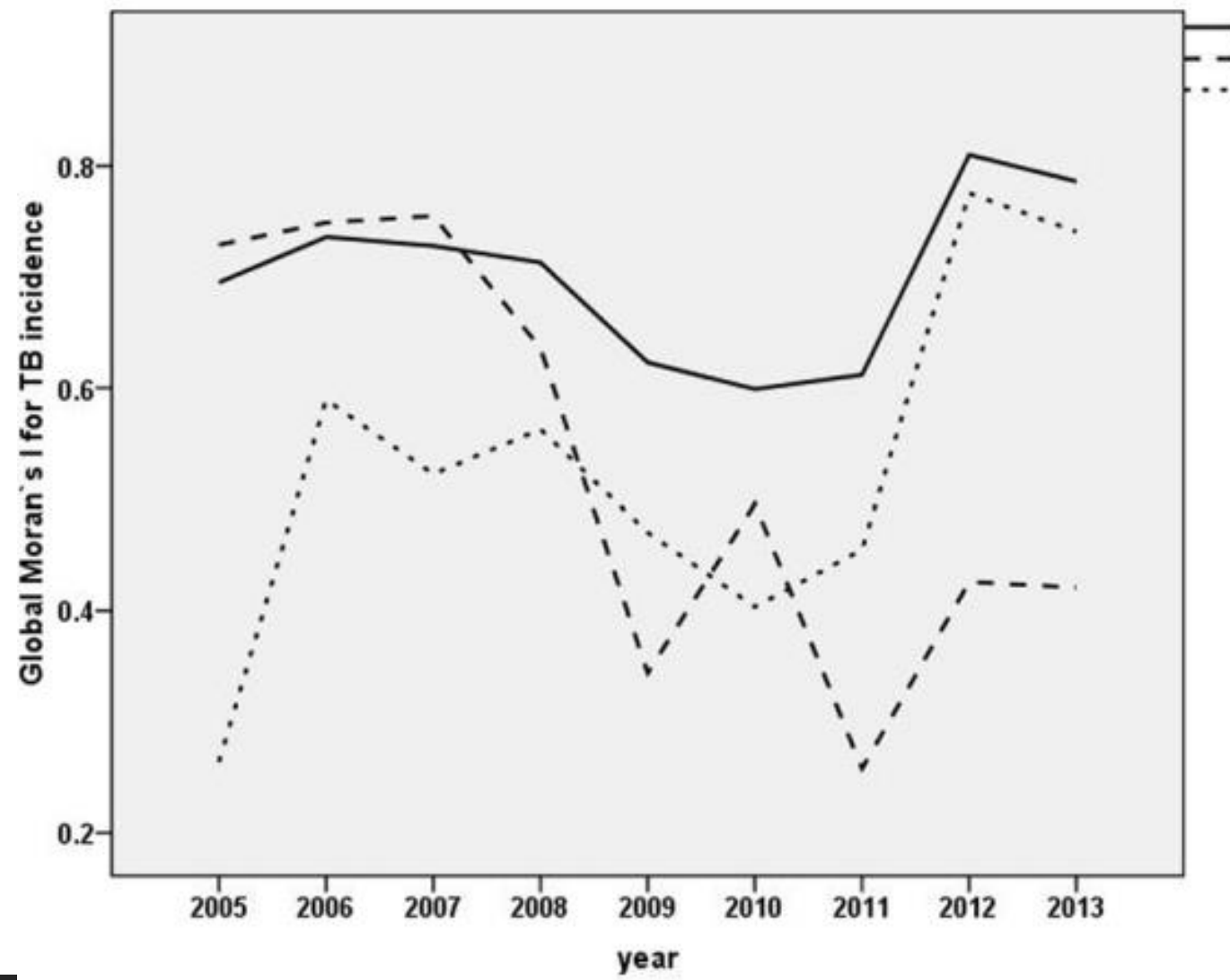
• Presença de autocorrelação espacial **positiva** (Moran global I> 0) na incidência de TB pulmonar, SS+TB e SS-TB de 2005 a 2013.

Table 1. Results of the global spatial autocorrelation analysis of pulmonary TB incidence from 2005-2013.

Year	Pulmonary TB incidence			SS+ TB incidence			SS- TB incidence		
	Moran`s I	z	P	Moran`s I	Z	P	Moran`s I	z	P
2005	0.695	18.497	<0.0001	0.729	19.389	<0.0001	0.264	7.132	<0.0001
2006	0.736	19.328	< 0.0001	0.749	19.712	< 0.0001	0.590	15.560	< 0.0001
2007	0.728	19.130	<0.0001	0.755	19.873	< 0.0001	0.523	13.821	<0.0001
2008	0.713	18.746	<0.0001	0.636	16.757	< 0.0001	0.563	14.847	< 0.0001
2009	0.623	16.429	<0.0001	0.344	9.464	< 0.0001	0.470	12.525	< 0.0001
2010	0.599	15.818	< 0.0001	0.496	13.088	< 0.0001	0.404	10.804	< 0.0001
2011	0.612	16.108	<0.0001	0.258	7.026	< 0.0001	0.455	12.148	< 0.0001
2012	0.810	21.228	< 0.0001	0.426	11.327	< 0.0001	0.775	20.336	< 0.0001
2013	0.786	20.634	<0.0001	0.421	11.013	< 0.0001	0.741	19.449	<0.0001
Annualized average incidence	0.78	20.733	<0.0001	0.717	18.843	<0.0001	0.696	18.277	<0.0001

Variação temporal significativa

### Análises de autocorrelação espacial global

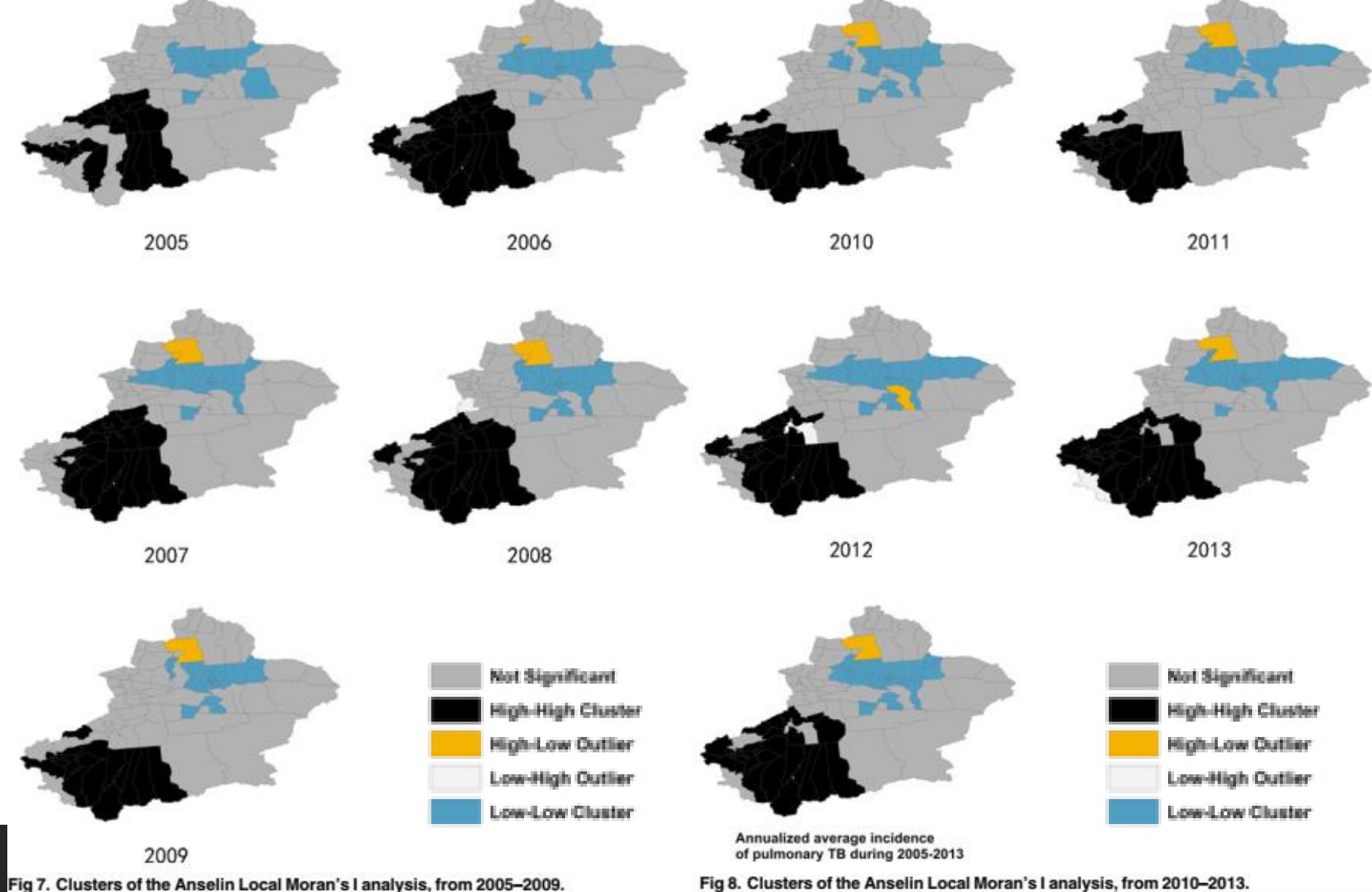


- Pulmonary TB incidence - SS+TB incidence - SS-TB incidence

- Consistente com outros estudos que mostraram autocorrelação espacial significativa.
- Entender as características espaciais da distribuição da TB → Desenvolvimento de políticas de controle de TB mais direcionadas.

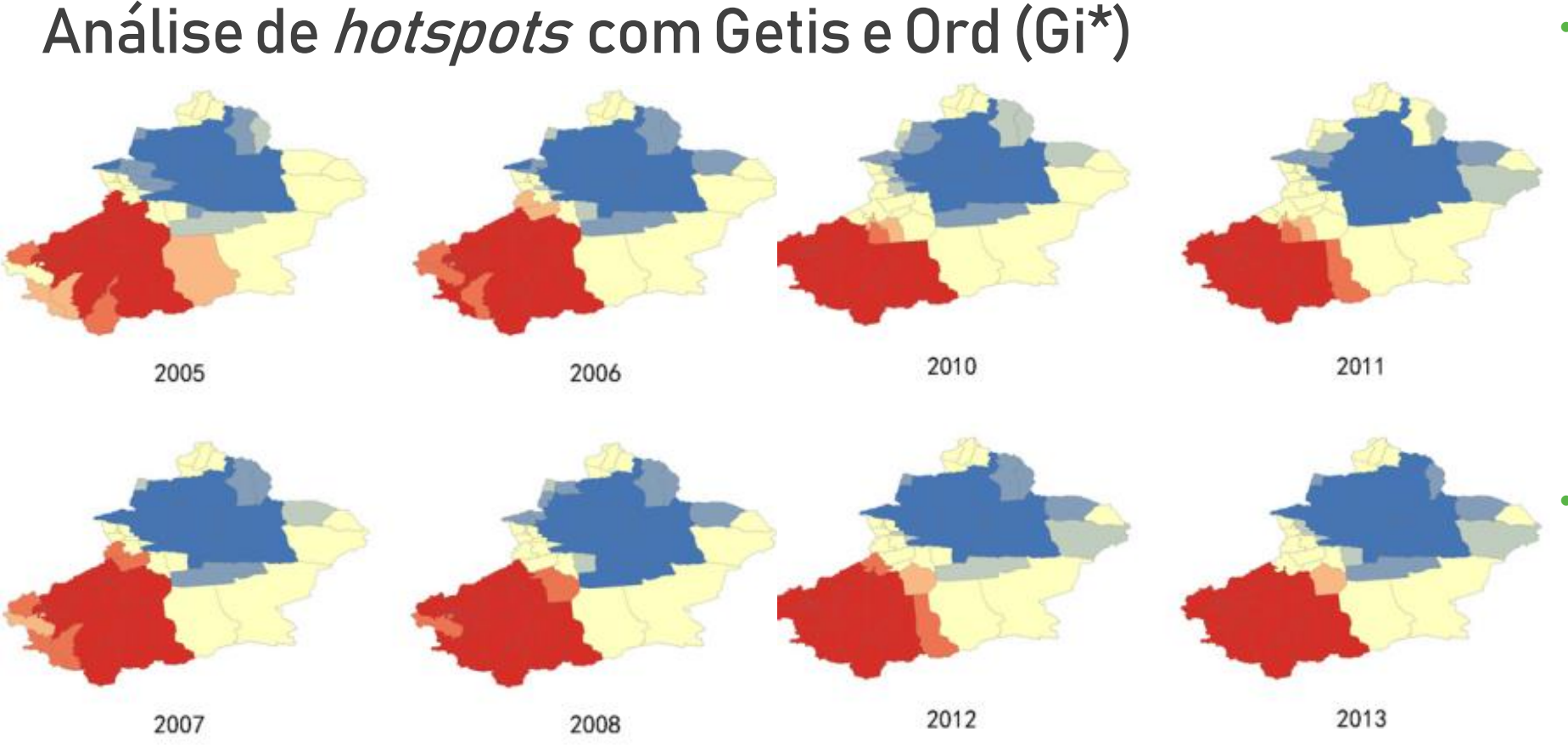
Fig 6. The trend of Global Moran's I value for pulmonary TB incidence from 2005 to 2013.

#### Autocorrelação espacial local da incidência da TB pulmonar



- A análise espacial local revelou "hotspots" e "coldspots";
- Mudança significativa ao longo do tempo.

Fig 8. Clusters of the Anselin Local Moran's I analysis, from 2010-2013.



Hotspot analysis of TB incidence Gi\_Bin

Cold Spot - 99% Confidence

Cold Spot - 95% Confidence Cold Spot - 90% Confidence

Hot Spot - 90% Confidence

Hot Spot - 95% Confidence

Hot Spot - 99% Confidence

Not Significant

 A análise com a estatística Getis-Ord forneceu mais informações que indicam a intensidade e a estabilidade dos clusters principais de hotspot/coldspot.

- Dois aglomerados parecem separados pelas montanhas
   Tianshan em Xinjiang → diferenças climáticas → influencia agricultura e pobreza.
- •Fronteiras com outros países.

Fig 9. Hotspot Analysis with Getis-Ord Gi\* statistic, from 2008-2009.

2009

ig 10. Hotspot Analysis with Getis-Ord Gi\* statistic, from 2010-2013.

Annualized average incidence

of pulmonary TB during 2005-2013

Hotspot analysis of TB incidence Gi\_Bin

Cold Spot - 99% Confidence

Cold Spot - 95% Confidence

Cold Spot - 90% Confidence

Hot Spot - 90% Confidence

Hot Spot - 95% Confidence

Hot Spot - 99% Confidence

Not Significant

#### Preditores sociodemográficos da incidência de TB pulmonar OLS

• Seis variáveis independentes como "densidade populacional", "proporção de homens", "proporção de minorias", 'proporção de população rural "," taxa de mortalidade "e" PIB per capita " foram selecionadas de acordo com a revisão da literatura e a disponibilidade de dados.

- Duas variáveis estatisticamente significativas:
  - "proporção de minorias" → efeito positivo
  - "PIB per capita" → efeito negativo.

• A maioria dos requisitos do método OLS foram atendidos, no entanto, a autocorrelação estatística significativa nos resíduos indicou **autocorrelação espacial das variáveis e natureza não estacionária**.

# Preditores sociodemográficos da incidência de TB pulmonar SLM

- O SLM foi utilizado como modelo de regressão espacial global **para lidar com a autocorrelação espacial** de variáveis.
- Os resultados do SLM mostraram autocorrelação espacial positiva da incidência de TB pulmonar.
  - "proporção de minorias" → efeito positivo na incidência de TB, e o valor absoluto do coeficiente de regressão diminuiu em comparação ao modelo OLS.
  - "PIB per capita" → não mostrou mais significância estatística (P> 0,05) no modelo SLM.

•Os valores decrescentes de Log-Likelihood e AIC também sugeriram a melhoria do ajuste do modelo no SLM em comparação com o OLS.

•A estatística do teste I de Moran para resíduos do modelo SLM foi praticamente 0 → eliminada a autocorrelação espacial, como esperado.

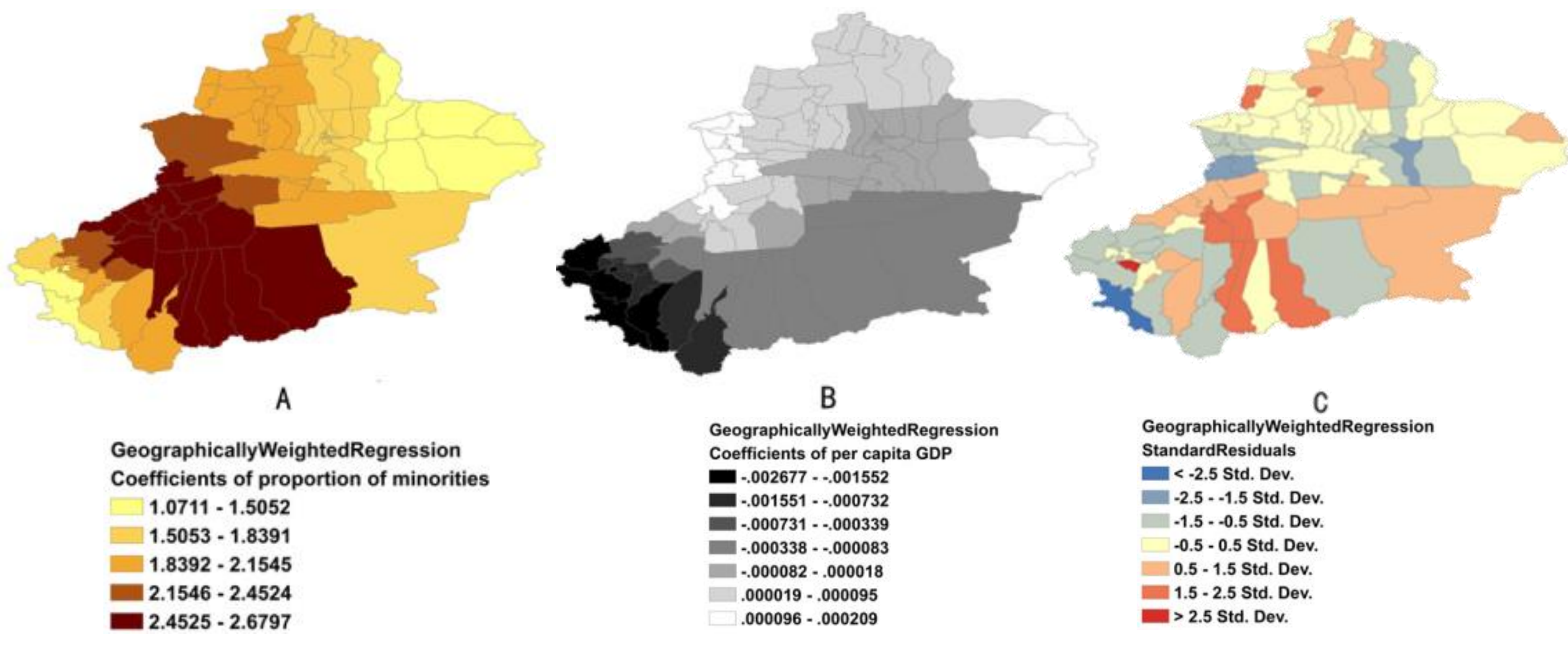
# Preditores sociodemográficos da incidência de TB pulmonar GWR

• Foi usado como modelo de regressão espacial **local para lidar com a natureza não estacionária** do modelo OLS.

• Melhorou o ajuste do modelo OLS com um aumento do R<sup>2</sup> e uma diminuição do valor de AIC.

•Os coeficientes mapeados para cada município/distrito indicaram onde as variáveis eram preditoras efetivas da incidência de TB pulmonar e onde não eram.

#### Coeficientes dos preditores e resíduos padrão da GWR



(A) Coeficientes de proporção de minorias. (B) Coeficientes do PIB per capita. (C) Padrão residual de GWR

### Preditores sociodemográficos da incidência de TB pulmonar

- Os Modelos OLS, SLM e GWR foram utilizados para explorar os preditores de incidência de TB pulmonar.
- SLM e GWR → melhor aptidão do que o modelo OLS.

- "Proporção de minorias → relação positiva
- "PIB per capita" -> relação negativa -> forte preditor para as regiões sudoeste.

•Os fatores genéticos podem ser uma explicação, porque os resultados de alguns estudos mostraram a suscetibilidade genética à TB em minorias.

### Preditores sociodemográficos da incidência de TB pulmonar

Table 3. Summary of OLS and SLM regression model.

Model	Parameter	Coefficient	Std.Error	t/z	Probability	Log-Likelihood	AIC
OLS	Constant	11.2189	24.8464	0.45	0.65	-434.55	883.89
	Proportion of minorities	2.1573	0.2593	8.32	<0.01		
	per capita GDP	-0.0005	0.0003	-2.06	0.04		
SLM	Wy	0.3881	0.0946	4.10	<0.01	-427.61	864.48
	Constant	-22.5312	23.3347	-0.96	0.33		
	Proportion of minorities	1.7004	0.2583	6.58	<0.01		
	per capita GDP	-0.0002	0.0003	-0.49	0.62		

Table 4. Summary of GWR model coefficients.

Parameter	Minimum	25% quartile	50% quartile	75% quartile	Maximum
Intercept	-32.69	-14.66	1.76	11.32	139.38
Proportion of minorities	1.07	1.76	2.01	2.39	2.68
Per capita GDP	-0.0027	-0.0001	0.0000	0.0001	0.0002
Condition number	6.39	7.25	7.81	13.49	29.99
Local R <sup>2</sup>	0.2506	0.5271	0.5972	0.6366	0.6940

#### Conclusões

• A incidência de SS+TB em Xinjiang → tendência decrescente de 2005 a 2013, mas permanece superior à média nacional da China.

• TB pulmonar, SS+TB e SS-TB → autocorrelação espacial significativa

- A análise detectou dois agrupamentos:
  - "hotspots" nas regiões sudoeste
  - "coldspots" nas regiões centrais-norte.

#### Conclusões

- Na exploração de dados sociodemográficos
  - "proporção de minorias" → correlação **positiva** → forte preditor nos municípios no centro-sul.
  - "PIB per capita" → correlação **negativa** → forte preditor na região sudoeste.

Esforços futuros → prioridades ao sul de Xinjiang.

• Pesquisas sobre a suscetibilidade genética das minorias, em particular a população de Uigur, que é a maior população do sul de Xinjiang.

## Limitações do trabalho

• Dados extraídos da vigilância oficial -> possibilidade de **subnotificação de casos** em algumas regiões.

• Estudo ecológico → associação em nível de grupo → falácia ecológica

• Indisponibilidade de dados no nível de distrito para estudar outros fatores ecológicos relacionados.

• Mais pesquisas são necessárias para estudar os fatores socioeconômicos e ambientais.

#### Referências

WUBULI, Atikaimu et al. Socio-demographic predictors and distribution of pulmonary tuberculosis (TB) in Xinjiang, China: A spatial analysis. **PloS one**, v. 10, n. 12, p. e0144010, 2015.

Brasil, Ministério da saúde.

Organização Mundial da Saúde - OMS.



Socio-Demographic Predictors and Distribution of Pulmonary Tuberculosis (TB) in Xinjiang, China: A Spatial Analysis
Atikaimu Wubuli, Feng Xue, Daobin Jiang, Xuemei Yao, Halmurat Upur,
Qimanguli Wushouer (2015)

RAÍSSA CAROLINE DOS SANTOS TEIXEIRA

PG-SER INPE 2019